

بررسی آثار برهم‌کنش سینماتیک خاک و سازه در بارگذاری لرزه‌یی سازه‌ها بخش دوم: حرکت‌های ورودی پی

محمد رضا فلاهرز شیخ‌آبادی (کارشناس ارشد)

محسن غفوری آشتیانی^{*} (استاد)

بیوهوشگاه بین‌المللی زلزله‌شناسی و مهندسی زلزله

در این نوشتار با درنظرگرفتن اثرات برهم‌کنش سینماتیک خاک و سازه، رابطه‌یی برای تعیین تحریک لرزه‌یی سازه‌های مستقر بر نوع سیستم پی گستردۀ و منفرد ارائه شده است. برای این منظور ابتدا تأثیرات شکل هندسی پی بر حرکت ورودی این نوع سیستم پی به صورت پارامتریک بررسی و سپس توابع تبدیل متاظر با حرکت ورودی این پی‌ها استخراج شده‌اند. همچنین بحث پارامتریک برای مقایسه‌ی مؤلفه‌های دورانی و انتقالی ورودی دو نوع سیستم پی گستردۀ و منفرد انجام شده است. نتایج عددی نشان می‌دهند که مؤلفه‌های انتقالی و پیچشی ورودی سازه با سیستم پی منفرد که دارای طبقات با دیافراگم صلب است، تقریباً برابر با مؤلفه‌های انتقالی و پیچشی سازه‌یی مشابه با پی گستردۀ صلب است.

m.falamarz@gmail.com
mohsen.ashtiany@gmail.com

واژگان کلیدی: مؤلفه‌های دورانی، سرعت فاز، محورهای اصلی، همگرائی، برهم‌کنش سینماتیک.

۱. مقدمه

بارگذاری سازه‌ها هنگامی که پی در خاک مدفون باشد، حتی بیشتر هم خواهد شد و در نظرنگرفتن آن در طراحی‌ها را می‌توان به منزله‌ی نقصی در بارگذاری سازه‌یی در نظر گرفت.^[۱]

هدف این نوشتار، محاسبه‌ی مؤلفه‌های ورودی پی‌ها با درنظرگرفتن اثرات برهم‌کنش سینماتیک خاک و سازه در دو حوزه‌ی تاریخچه‌ی زمانی و بسامدی است. از این رو ابتدا فرایند برای تعیین کلیه‌ی مؤلفه‌های ورودی پی، براساس نوع سیستم آن ارائه می‌شود. سپس به صورت پارامتریک، تأثیر شکل هندسی و نوع سیستم پی در چگونگی تغییر مؤلفه‌های ورودی بررسی و ارزیابی خواهد شد.

۲. تعیین «شتاب ورودی پی‌ها» با درنظرگرفتن اثرات برهم‌کنش سینماتیک خاک و سازه

در این بخش فرایند محاسبه‌ی مؤلفه‌های شتاب ورودی پی‌ها برای دو نوع سیستم پی ارائه می‌شود:

۱. سازه‌های با سیستم پی گستردۀ؛
۲. سازه‌های با سیستم پی منفرد.

برای تعیین پاسخ دینامیکی سازه‌ها ناشی از تحریکات لرزه‌یی معمولاً از حرکت‌های زمین در میدان آزاد به منظور بارگذاری دینامیکی سازه‌ها استفاده می‌شود. این در حالی است که برای سازه‌های با پی گستردۀ صلب، معمولاً ناشی از آثار برهم‌کنش خاک و سازه، تفاوت قابل توجهی بین حرکت‌های میدان آزاد زمین و حرکت‌های پی سازه‌ها وجود دارد.^[۲] که ماهیت و میزان این برهم‌کنش نه فقط به خصوصیات دینامیکی خاک و سازه، بلکه به سختی و ابعاد پی نیز بستگی دارد. چنانچه برهم‌کنش فقط ناشی از تفاوت در خصوصیات دینامیکی خاک و سازه باشد به «برهم‌کنش دینامیک» و چنانچه به شکل هندسی و صلابت پی سازه مربوط باشد به «برهم‌کنش سینماتیک» معروف است.^[۳] برهم‌کنش سینماتیک خاک و سازه ناشی از تغییرات مکانی حرکت زمین در میدان آزاد است. درواقع، هنگامی که سازه‌یی با پی گستردۀ صلب بر روی سطح زمین ساخته می‌شود، به دلیل صلابت پی نسبت به خاک مجاورش و عدم قابلیت تطابق خاک با حرکت میدان آزاد، پی سازه میانگینی از حرکت‌های میدان آزاد خاک را تجربه می‌کند که به این حرکت تغییر یافته، «حرکت ورودی پی» می‌گویند. اثرات برهم‌کنش سینماتیک باعث کاهش محتوای بسامدی بخش بسامدهای بالای حرکت‌های انتقالی ورودی پی و منجر به تولید حرکت‌های دورانی در پایه‌ی سازه می‌شود. از این رو برهم‌کنش سینماتیک می‌تواند منجر به کاهش (افزایش) پاسخ‌های لرزه‌یی سازه‌های سخت و کوتاه (بلند) شود. این تغییر

* نویسنده مسئول
در صورتی که مجموعه‌یی از پی‌های منفرد همانند شکل ۱ ب. با کلاف‌بندی مناسب

تاریخ: دریافت ۱۰/۱۲/۱۳۸۸، اصلاحیه ۳/۶/۱۳۸۹، پذیرش ۲/۹/۱۳۸۹.

و $\{k_{xp}, k_{yp}, k_{zp}, k_{\theta xp}, k_{\theta yp}, k_{\theta zp}\}$ به ترتیب مؤلفه‌های حرکتی زمین در راستای محورهای اصلی سازه و سختی‌های متناظر با مش p هستند. با استفاده از اصل کمینه‌ی انرژی، بهینه‌ترین حرکت پی که به ازای آن کمترین انرژی مصرف شود، به صورت رابطه‌ی ۳ محاسبه می‌شود:

$$\frac{\partial E}{\partial u_x^F} = \frac{\partial E}{\partial u_y^F} = \frac{\partial E}{\partial u_z^F} = \frac{\partial E}{\partial \theta_x^F} = \frac{\partial E}{\partial \theta_y^F} = \frac{\partial E}{\partial \theta_z^F} = 0. \quad (3)$$

با حل معادلات حاصل از رابطه‌ی ۳، روابط محاسبه‌ی حرکت‌های ورودی پی مطابق رابطه‌ی ۴ محاسبه می‌شوند:

$$[K] \cdot \{u^F\} = \{F^g\} \rightarrow$$

$$\begin{bmatrix} K_x & \circ & \circ & \circ & \sum_{p=1}^N z_p k_{yp} & -\sum_{i=1}^N y_p k_{xp} \\ K_y & \circ & -\sum_{p=1}^N z_p k_{yp} & \circ & \sum_{p=1}^N x_p k_{yp} \\ K_z & \sum_{p=1}^N y_p k_{zp} & -\sum_{p=1}^N x_p k_{zp} & \circ & \\ K_{\theta x} & -\sum_{p=1}^N y_p x_p k_{zp} & -\sum_{p=1}^N z_p x_p k_{yp} & \\ Symmetric & & K_{\theta y} & -\sum_{p=1}^N z_p y_p k_{xp} \\ & & & K_{\theta z} \end{bmatrix}$$

$$\times \begin{Bmatrix} u_x^F \\ u_y^F \\ u_z^F \\ \theta_x^F \\ \theta_y^F \\ \theta_z^F \end{Bmatrix} = \sum_{p=1}^N (\hat{K}_p \cdot \{u_p^g\}) \quad (4)$$

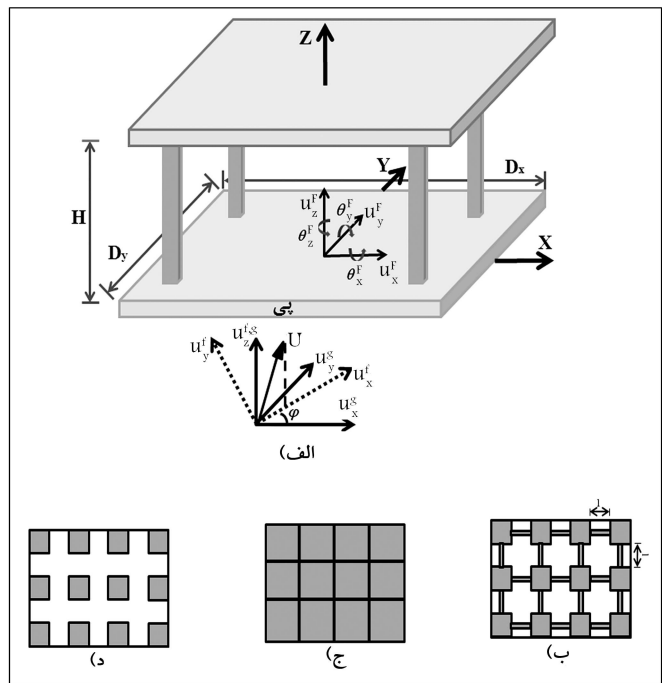
که در آن درایه‌های روی قطر اصلی ماتریس مشخصه‌ی پی $[K]$ طبق روابط ۵ برابرند با:

$$\begin{aligned} K_x &= \sum_{p=1}^N k_{xp} & K_{\theta x} &= \sum_{p=1}^N (k_{\theta xp} + z_p^r k_{yp} + y_p^r k_{zp}) \\ K_y &= \sum_{p=1}^N k_{yp} & K_{\theta y} &= \sum_{p=1}^N (k_{\theta yp} + z_p^r k_{xp} + x_p^r k_{zp}) \\ K_z &= \sum_{p=1}^N k_{zp} & K_{\theta z} &= \sum_{p=1}^N (k_{\theta zp} + x_p^r k_{yp} + y_p^r k_{xp}) \end{aligned} \quad (5)$$

و ماتریس تأثیر پی منفرد p $[\hat{K}_p]$ ، نیز مطابق رابطه‌ی ۶ برابر است با:

$$[\hat{K}_p] = \begin{bmatrix} k_{xp} & \circ & \circ & \circ & \circ & \circ \\ \circ & k_{yp} & \circ & \circ & \circ & \circ \\ \circ & \circ & k_{zp} & \circ & \circ & \circ \\ \circ & -k_{yp} z_p & k_{zp} y_p & k_{\theta xp} & \circ & \circ \\ k_{xp} z_p & \circ & -k_{zp} x_p & \circ & k_{\theta yp} & \circ \\ -k_{xp} y_p & k_{yp} x_p & \circ & \circ & \circ & k_{\theta zp} \end{bmatrix} \quad (6)$$

حال درصورتی که جهت غالب انتشار امواج زلزله مطابق با شکل ۱(a) به طور مایل و با زاویه‌ی φ نسبت به محور x ساره باشد، کافی است راستای معادل حرکت زمین درامتداد محورهای اصلی سازه محاسبه شود. برای این منظور اگر مؤلفه‌های حرکتی زمین (میدان



شکل ۱. مدل پی و سازه‌ی درنظر گرفته شده.

و قوی به یکدیگر متصل باشند، می‌توان فرض کرد که این نوع سیستم پی، رفتاری سینماتیک تقریباً مشابه یک پی گسترده دارد. با فرض صلب بودن پی، پی گسترده‌ی شکل ۱(a) را می‌توان حالت خاصی از پی‌های منفرد (مش) با پیوسته با فاصله‌ی l فرض کرد و در هر دو حالت می‌توان شتاب ۶ مؤلفه‌ی پی ورودی را به صورت یکسان تخمین زد. اگر ۶ مؤلفه‌ی حرکتی در نقطه‌ی پی روی سطح پی (نقطه‌ی مرجع) $\{u^F\}^T = \{u_x^F, u_y^F, u_z^F, \theta_x^F, \theta_y^F, \theta_z^F\}$ باشند، جابجایی پی منفرد p (مش) p مطابق رابطه‌ی ۱ محاسبه خواهد شد:

$$U_p^F = \begin{Bmatrix} U_{xp}^F \\ U_{yp}^F \\ U_{zp}^F \end{Bmatrix} = \begin{Bmatrix} u_x^F - y_p \theta_z^F + z_p \theta_y^F \\ u_y^F + x_p \theta_z^F - z_p \theta_x^F \\ u_z^F - x_p \theta_y^F + y_p \theta_x^F \end{Bmatrix} \quad (1)$$

در صورتی که فرض شود خاک در کشش هم کار می‌کند و نیروی اصطکاک بین خاک و پی آنقدر زیاد است که لغزشی بین خاک و پی رخ نمی‌دهد، با اختصاص درجه‌ی آزادی به مرکز هر پی منفرد (مش)، معادله‌ی انرژی حاکم بر حرکت کلی پی با فرض پی‌جرم بودن آن مطابق رابطه‌ی ۲ است:

$$\begin{aligned} E &= \sum_{p=1}^N \left[\frac{1}{2} k_{xp} (U_{xp}^F - u_{xp}^g)^2 + \frac{1}{2} k_{yp} (U_{yp}^F - u_{yp}^g)^2 \right. \\ &\quad \left. + \frac{1}{2} k_{zp} (U_{zp}^F - u_{zp}^g)^2 \right] + \sum_{p=1}^N \left[\frac{1}{2} k_{\theta xp} (\theta_x^F - \theta_{xp}^g)^2 \right. \\ &\quad \left. + \frac{1}{2} k_{\theta yp} (\theta_y^F - \theta_{yp}^g)^2 + \frac{1}{2} k_{\theta zp} (\theta_z^F - \theta_{zp}^g)^2 \right] \end{aligned} \quad (2)$$

که در آن:

$$\{u_p^g\}^T = \{u_{xp}^g, u_{yp}^g, u_{zp}^g, \theta_{xp}^g, \theta_{yp}^g, \theta_{zp}^g\}$$

(E[\ddot{\theta}^g \ddot{u}^g] = 0) برابر با رابطه‌ی ۱۰ خواهد شد:

$$diag \left\{ S_{\varphi}^F(\omega) \right\}_{6 \times 6} = \left\{ \begin{array}{c} \frac{S_x^g(\omega)}{N^r} \cdot A_N \\ \frac{S_y^g(\omega)}{N^r} \cdot A_N \\ \frac{S_z^g(\omega)}{N^r} \cdot A_N \\ \frac{k_{\theta x}^r S_{\theta x}^g(\omega)}{(K_{\theta x}|_{z=0})^r} \cdot A_N + \frac{k_z^r S_z^g(\omega)}{(K_{\theta x}|_{z=0})^r} \cdot A_y \\ \frac{k_{\theta y}^r S_{\theta y}^g(\omega)}{(K_{\theta y}|_{z=0})^r} \cdot A_N + \frac{k_z^r S_z^g(\omega)}{(K_{\theta y}|_{z=0})^r} \cdot A_x \\ \left[\begin{array}{c} \frac{k_{\theta z}^r S_{\theta z}^g(\omega)}{K_{\theta z}^r} \cdot A_N + \frac{k_x^r S_x^g(\omega)}{K_{\theta z}^r} \cdot A_y + \frac{k_y^r S_y^g(\omega)}{K_{\theta z}^r} \cdot A_x \\ -\rho_{xy} \frac{k_x k_y \sqrt{S_y^g(\omega) S_z^g(\omega)}}{K_{\theta z}^r} \cdot A_{xy} \end{array} \right] \end{array} \right\}^{(10)}$$

که در آن $S_x^g(\omega), S_y^g(\omega), S_z^g(\omega)$ به ترتیب چگالی طیفی مؤلفه‌های افقی زلزله در راستای محورهای z, y و x هستند. در صورت نبود چگالی طیفی مؤلفه‌های دورانی زلزله می‌توان چگالی طیفی مؤلفه‌های شتاب گهواره‌ی زلزله را برابر با ρ_{xy} پیچشی زلزله را نیز برابر با $(S_x^g(\omega) + S_y^g(\omega)) / (V_A^r / 4V_A)$ درنظر گرفت، که در آن‌ها سرعت ظاهری متناظر امواج زلزله است. به این ترتیب می‌توان ۶ مؤلفه‌ی چگالی طیفی ورودی پی را محاسبه کرد. همچنین در صورتی که فرض شود راستای انتشار امواج لرزه‌ی، هم‌امتداد با محورهای اصلی تحریک باشد؛ ρ_{xy} برابر صفر می‌شود. با وجود این، با توجه به اینکه در حال حاضر تحلیل سازه‌ها در حوزه‌ی بسامدی تحت تحریک اثر هم‌زمان ۶ مؤلفه‌ی زلزله ممکن نیست، از این رو در ادامه، روشی در حوزه‌ی تاریخچه‌ی زمانی برای محاسبه‌ی ۶ مؤلفه‌ی ورودی با استفاده از رابطه‌ی ۱۰ ارائه می‌شود. ابتدا با توجه به رابطه‌ی ۱۱ و با فرض $\rho_{xy} = 0$ ، رابطه‌ی ۱۰ به صورت رابطه‌ی ۱۱ بازنویسی می‌شود:

$$T^F(\omega) = \left\{ \begin{array}{c} (T_x^F(\omega))^r \\ (T_y^F(\omega))^r \\ (T_z^F(\omega))^r \\ (T_{\theta x}^F(\omega))^r \\ (T_{\theta y}^F(\omega))^r \\ (T_{\theta z}^F(\omega))^r \end{array} \right\} \equiv \left\{ \begin{array}{c} S_x^F(\omega) \\ S_x^g(\omega) \\ S_y^F(\omega) \\ S_y^g(\omega) \\ S_z^F(\omega) \\ S_z^g(\omega) \end{array} \right\}$$

$$= \left\{ \begin{array}{c} \frac{A_N}{N^r} \\ \frac{A_N}{N^r} \\ \frac{A_N}{N^r} \\ \frac{k_{\theta x}^r \omega^r}{V_A^r (K_{\theta x}|_{z=0})^r} \cdot A_N + \frac{k_z^r}{(K_{\theta x}|_{z=0})^r} \cdot A_y \\ \frac{k_{\theta y}^r \omega^r}{V_A^r (K_{\theta y}|_{z=0})^r} \cdot A_N + \frac{k_z^r}{(K_{\theta y}|_{z=0})^r} \cdot A_x \\ \frac{k_{\theta z}^r (\omega^r + r_{xy}^r(\omega))}{r V_A^r K_{\theta z}^r} \cdot A_N + \frac{k_x^r r_{xy}^r(\omega)}{K_{\theta z}^r} \cdot A_y + \frac{k_y^r}{K_{\theta z}^r} \cdot A_x \end{array} \right\}^{(11)}$$

که در آن نسبت $r_{xy}(\omega) = |\ddot{u}_x^g(i\omega)| / |\ddot{u}_y^g(i\omega)|$ است. با فرض اینکه فاز

آزاد) در جهت انتشار برابر $\{u_p^f\}^T = \{u_{x'}^f, u_{y'}^f, u_{z'}^f, \theta_{x'}^f, \theta_{y'}^f, \theta_{z'}^f\}$ باشد، مؤلفه‌های حرکتی زمین در راستای محورهای اصلی سازه $\{T(\varphi)\} = [T(\varphi)] \cdot \{u_p^f\}$ و چگالی طیفی‌های متناظر با آن‌ها $\{S_{pq}^g(\omega)\}_{6 \times 6} = [T(\omega)] \cdot \{S_{pq}^f(\omega)\}_{6 \times 6} \cdot [T(\varphi)]^T$ خواهد شد.

با توجه به این فرضیات، چگالی طیفی ورودی بی مطابق رابطه‌ی ۷ محاسبه خواهد شد:

$$\left\{ S_{\varphi}^F(\omega) \right\}_{6 \times 6} = [K]_{6 \times 6}^{-1} \cdot \left\{ \sum_{p=1}^N \sum_{q=1}^N \left([\hat{K}_p]_{6 \times 6} \cdot \{S_{pq}^g(\omega)\}_{6 \times 6} \cdot [\hat{K}_q]_{6 \times 6}^T \right) \right\} \cdot [K]_{6 \times 6}^{-1}^T \quad (7)$$

در حالت خاص، باید یک پی سطحی هنگامی که حرکت زمین در راستای محورهای اصلی سازه ($\varphi = 0$) باشد، با بازنویسی رابطه‌ی ۴ برحسب شتاب ورودی پی و با فرضیات یکسان‌بودن سختی‌های متناظر مشاهده و قرارگرفتن مبدأ دستگاه مختصات در محل مرکز سختی پی، درایه‌های غیرقطاری ماتریس $[K]$ همگنی صفر خواهد شد.

در این صورت شتاب ورودی پی از رابطه‌ی ۸ محاسبه خواهد شد:

$$\left\{ \ddot{u}^F \right\} = \left\{ \begin{array}{c} \frac{1}{N} \sum_{p=1}^N \ddot{u}_{xp}^g \\ \frac{1}{N} \sum_{p=1}^N \ddot{u}_{yp}^g \\ \frac{1}{N} \sum_{p=1}^N \ddot{u}_{zp}^g \\ \frac{k_{\theta x}}{K_{\theta x}} \sum_{p=1}^N \ddot{\theta}_{xp}^g + \frac{k_z}{K_{\theta x}} \sum_{p=1}^N y_p \ddot{u}_{zp}^g \\ \frac{k_{\theta y}}{K_{\theta y}} \sum_{p=1}^N \ddot{\theta}_{yp}^g - \frac{k_z}{K_{\theta y}} \sum_{p=1}^N x_p \ddot{u}_{zp}^g \\ \frac{k_{\theta z}}{K_{\theta z}} \sum_{p=1}^N \ddot{\theta}_{zp}^g - \frac{k_x}{K_{\theta z}} \sum_{p=1}^N y_p \ddot{u}_{xp}^g + \frac{k_y}{K_{\theta z}} \sum_{p=1}^N x_p \ddot{u}_{yp}^g \end{array} \right\}_{6 \times 1} \quad (8)$$

درایه‌های قطعی ماتریس چگالی طیفی شتاب ورودی $\{S_{\varphi}^F(\omega)\}_{6 \times 6}$ متناظر با رابطه‌ی ۸، در صورتی که تابع هم‌گرانی γ_{pq} و همبستگی ρ_{xy} به ترتیب برابر با $S_{pq} / \sqrt{S_{pp} S_{qq}}$ و $D_{xy} / \sqrt{S_{xx} S_{yy}}$ در نظرگرفته شوند، طبق تعریف رابطه‌ی ۹:

$$\begin{aligned} A_N &= \left(N + 2 \sum_{p=1}^{N-1} \sum_{q=p+1}^N \operatorname{Re}al(\gamma_{pq}) \right) \\ A_x &= \left(\sum_{p=1}^N x_p^r + 2 \sum_{p=1}^{N-1} \sum_{q=p+1}^N x_p x_q \operatorname{Re}al(\gamma_{pq}) \right) \\ A_y &= \left(\sum_{p=1}^N y_p^r + 2 \sum_{p=1}^{N-1} \sum_{q=p+1}^N y_p y_q \operatorname{Re}al(\gamma_{pq}) \right) \\ A_{xy} &= \left(\sum_{p=1}^N \sum_{q=1}^N x_p y_q \gamma_{pq} \right) \end{aligned} \quad (9)$$

و با فرض ناهمبسته بودن مؤلفه‌های دورانی و انتقالی زلزله نسبت به هم

مدول برشی و مدول کشسانی هر ستون هستند و به این ترتیب با تعریف نسبت‌های $K_\theta/k = \sum_{p=1}^N (x_p + y_p) + Nh^\dagger / 12(1+\nu)$ که به ترتیب برابر با $1/r_{k_\theta}$ و $1/r_k$ هستند، مطابق رابطه‌ی ۱۴ با فرض ناهمبسته بودن مؤلفه‌های حرکتی زمین، مطابق رابطه‌ی ۱۵ محاسبه خواهد شد:

$$S^{qs}(\omega) = \left\{ \begin{array}{l} \frac{S_x^g(\omega) + h^\dagger S_{\theta y}^g(\omega)}{N^\dagger} A_N \\ \frac{S_y^g(\omega) + h^\dagger S_{\theta x}^g(\omega)}{N^\dagger} A_N \\ \left[r_k^\dagger \left([S_y^g(\omega) + h^\dagger S_{\theta x}^g(\omega)] \cdot A_x \right. \right. \\ \left. \left. + [S_x^g(\omega) + h^\dagger S_{\theta y}^g(\omega)] \cdot A_y \right) \right. \\ \left. + r_{k_\theta}^\dagger S_{\theta z}^g(\omega) A_N \right] \end{array} \right\} \quad (15)$$

به سادگی می‌توان نشان داد که تابع تبدیل متناظر با رابطه‌ی ۱۵ مطابق رابطه‌ی ۱۶ است:

$$T^{qs}(\omega) = \left\{ \begin{array}{l} (T_x^{qs}(\omega))^\dagger \\ (T_y^{qs}(\omega))^\dagger \\ (T_{\theta z}^{qs}(\omega))^\dagger \end{array} \right\} \equiv \left\{ \begin{array}{l} \frac{S_x^{qs}(\omega)}{S_y^{qs}(\omega)} \\ \frac{S_y^{qs}(\omega)}{S_{\theta z}^{qs}(\omega)} \\ \frac{S_{\theta z}^{qs}(\omega)}{S_y^{qs}(\omega)} \end{array} \right\} = \left\{ \begin{array}{l} \frac{1+h^\dagger \omega^\dagger r_{z x}^\dagger(\omega)/V_A^\dagger}{N^\dagger} A_N \\ \frac{1+h^\dagger \omega^\dagger r_{z y}^\dagger(\omega)/V_A^\dagger}{N^\dagger} A_N \\ \left[r_k^\dagger \left([1+h^\dagger \omega^\dagger r_{z y}^\dagger(\omega)/V_A^\dagger] \cdot A_x \right. \right. \\ \left. \left. + [r_{xy}^\dagger(\omega) + h^\dagger \omega^\dagger r_{zy}^\dagger(\omega)/V_A^\dagger] \cdot A_y \right) \right. \\ \left. + \frac{r_{k_\theta}^\dagger \omega^\dagger (1+r_{xy}^\dagger(\omega))}{V_A^\dagger} A_N \right] \end{array} \right\} \quad (16)$$

که در آن نسبت‌های $r_{z x}(\omega), r_{z y}(\omega), r_{xy}(\omega)$ به ترتیب برابر با $|\ddot{u}_z^\dagger(i\omega)|/|\ddot{u}_x^\dagger(i\omega)|$ و $|\ddot{u}_z^\dagger(i\omega)|/|\ddot{u}_y^\dagger(i\omega)|$ هستند. به این ترتیب با توجه به رابطه‌ی ۱۶، تبدیل فوریه‌ی ۱۷ مؤلفه‌ی شتاب اولین طبقه با دیافراگم صلب سازه مطابق رابطه‌ی ۱۷ محاسبه خواهد شد:

$$\left\{ \begin{array}{l} \ddot{u}_x^{qs}(\omega) \\ \ddot{u}_y^{qs}(\omega) \\ \ddot{\theta}_z^{qs}(\omega) \end{array} \right\} = \left\{ \begin{array}{l} T_x^{qs}(\omega) \cdot \ddot{u}_x^g(i\omega) \cdot e^{\pm i\psi\varphi_x^T} \\ T_y^{qs}(\omega) \cdot \ddot{u}_y^g(i\omega) \cdot e^{\pm i\psi\varphi_y^T} \\ T_{\theta z}^{qs}(\omega) \cdot \frac{|\ddot{u}_y^g(i\omega)|}{|\ddot{\theta}_z^g(i\omega)|} \cdot \ddot{\theta}_z^g(i\omega) \cdot e^{\pm i\psi\varphi_{\theta z}^T} \end{array} \right\} \quad (17)$$

با محاسبه‌ی معکوس تبدیل فوریه‌ی رابطه‌ی ۱۷، مجموعه‌ی از ۳ مؤلفه‌ی تاریخچه‌ی زمانی ورودی پی به دست می‌آید. برای محاسبه‌ی حرکت‌های ورودی طبقات دیگر

حرکتی مؤلفه‌های ورودی پی برابر با رابطه‌ی ۱۲ باشد:

$$\varphi^F(\omega) = \varphi^g(\omega) \pm \psi \varphi^T(\omega) \quad (12)$$

که در آن $\varphi^g(\omega)$ فاز حرکتی مؤلفه‌های میدان آزاد، ψ عددی از بازه‌ی $1/2 \leq \psi \leq 1$ و $(\omega)^T \varphi^g$ بیان‌گر تغییرات فاز ورودی پی برابر با $\omega D_x/V_A$ است (D_x بعد پی در جهت انتشار امواج است). به این ترتیب تبدیل فوریه‌ی مؤلفه‌های ورودی پی مطابق رابطه‌ی ۱۳ خواهد شد:

$$\left\{ \begin{array}{l} \ddot{u}_x^F(i\omega) \\ \ddot{u}_y^F(i\omega) \\ \ddot{u}_z^F(i\omega) \\ \ddot{\theta}_x^F(i\omega) \\ \ddot{\theta}_y^F(i\omega) \\ \ddot{\theta}_z^F(i\omega) \end{array} \right\} = \left\{ \begin{array}{l} T_x^F(\omega) \cdot \ddot{u}_x^g(i\omega) \cdot e^{\pm i\psi\varphi_x^T(\omega)} \\ T_y^F(\omega) \cdot \ddot{u}_y^g(i\omega) \cdot e^{\pm i\psi\varphi_y^T(\omega)} \\ T_z^F(\omega) \cdot \ddot{u}_z^g(i\omega) \cdot e^{\pm i\psi\varphi_z^T(\omega)} \\ T_{\theta x}^F(\omega) \cdot \frac{|\ddot{u}_z^g(i\omega)|}{|\ddot{\theta}_x^g(i\omega)|} \cdot \ddot{\theta}_x^g(i\omega) \cdot e^{\pm i\psi\varphi_{\theta x}^T(\omega)} \\ T_{\theta y}^F(\omega) \cdot \frac{|\ddot{u}_z^g(i\omega)|}{|\ddot{\theta}_y^g(i\omega)|} \cdot \ddot{\theta}_y^g(i\omega) \cdot e^{\pm i\psi\varphi_{\theta y}^T(\omega)} \\ T_{\theta z}^F(\omega) \cdot \frac{|\ddot{u}_z^g(i\omega)|}{|\ddot{\theta}_z^g(i\omega)|} \cdot \ddot{\theta}_z^g(i\omega) \cdot e^{\pm i\psi\varphi_{\theta z}^T(\omega)} \end{array} \right\} \quad (13)$$

با محاسبه‌ی معکوس تبدیل فوریه‌ی رابطه‌ی ۱۳، مجموعه‌ی از ۶ مؤلفه‌ی تاریخچه‌ی زمانی ورودی پی به دست می‌آید، که از آن‌ها می‌توان برای تحریک سازه‌ی موردنظر و تعیین بحرانی‌ترین پاسخ اعضاي سازه در هر بارگذاري استفاده کرد.

۲.۲. شتاب ورودی سازه‌های دارای سیستم پی منفرد با کلاف‌بندی ضعیف

برای سازه‌هایی با سیستم پی منفرد مطابق شکل ۱ د، در صورتی که طبقات سازه دارای دیافراگم صلب در صفحه نباشند، تحریک چنین سازه‌هایی در حالت کلی مشابه سازه‌های چندتکی‌گاهی انجام می‌گیرد. در غیر این صورت می‌توان مؤلفه‌های حرکتی ورودی سازه را با میانگین‌گیری بر روی مؤلفه‌های حرکتی اولین طبقه‌ی آن محاسبه کرد. به این ترتیب با فرضیات و روشی مشابه حالت پی‌گسترده، مؤلفه‌های شتاب شبکه‌استاتیک سازه با فرض اینکه سختی‌های پیچشی و انتقالی ستون A_m به ترتیب برابر با $k_{xp} = k_{yp} = k, k_{\theta p} = k_{\theta \theta}$ باشند، مطابق رابطه‌ی ۱۴ محاسبه خواهد شد:

$$\left\{ \ddot{U}^{qs} \right\} = \left\{ \begin{array}{l} \ddot{u}_x^{qs} \\ \ddot{u}_y^{qs} \\ \ddot{\theta}_z^{qs} \end{array} \right\} = \left\{ \begin{array}{l} \frac{\sum_{p=1}^N (\ddot{u}_{xp}^g + h, \ddot{\theta}_y^g)}{N} \\ \frac{\sum_{p=1}^N (\ddot{u}_{yp}^g + h, \ddot{\theta}_x^g)}{N} \\ \frac{k}{K_\theta} \sum_{p=1}^N \left([\ddot{u}_{yp}^g + h, \ddot{\theta}_x^g] \cdot x_p + [\ddot{u}_{xp}^g + h, \ddot{\theta}_y^g] \cdot y_p \right) + \frac{k_\theta}{K_\theta} \sum_{p=1}^N (\ddot{\theta}_z^g) \end{array} \right\} \quad (14)$$

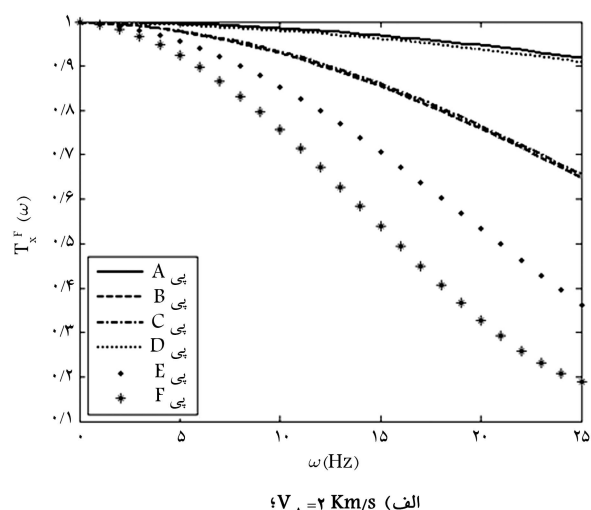
که در آن h ارتفاع طبقه‌ی اول با دیافراگم صلب سازه از تراز پایه است و سختی‌پیچشی کلی طبقه‌ی صلب K_θ ، نیز برابر با $(kx_p^\dagger + ky_p^\dagger + k_\theta)$ در نظر گرفته می‌شود. با فرض $EJ/h = GJ/h = 12EI/h = k_\theta = k$ که در آن‌ها E, G, J, I به ترتیب ممان سطح حول محور x و یا y ، ممان قطبی سطح

در این جا $a_l = b_l = 5 \times 10^{-6}$ (کم‌ترین همگرایی) فرض شده و $V_A = 1 - 2 \text{ Km/s}$ در نظر گرفته شده‌اند. همچنین $r_{xy}(\omega) = r_{zx}(\omega) = 1$ فرض می‌شوند (شایان ذکر است استفاده از فرضیاتی به جز آن‌ها که در این نوشتار درنظر گرفته شده‌اند، نتایج به دست آمده در ادامه می‌توانند متفاوت باشد).

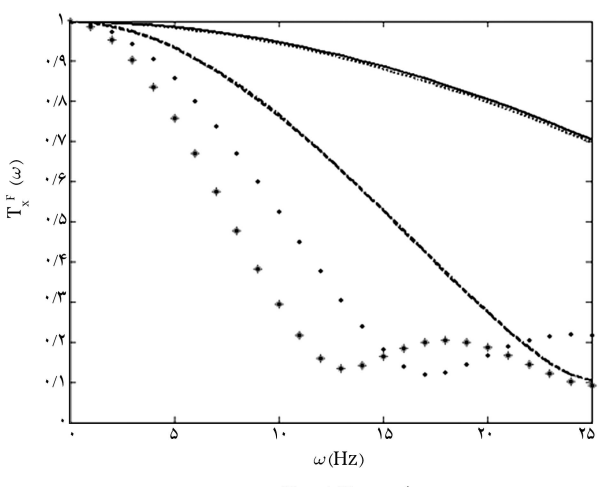
به منظور مقایسه بین ورودی‌های حالت سازه با پی گسترده و سازه با پی منفرد (با کلاف‌بندی ضعیف)، تعداد پی‌های منفرد برابر با تعداد مشاهد پی گسترده و هم‌مرکز با آن‌ها درنظر گرفته شده است (جدول ۱). همچنین برای محاسبه سختی فزرهای زیرهای پی منفرد (مش) فرض شده است که پی‌ها بر روی ساختگاه با خاک نرم به مشخصات $\nu_s = 0.38, G = 74 \text{ MPa}$ مستقر شده‌اند^[۱۱] و همچنین فرض می‌شود ارتفاع طبقه‌ی اول سازه دارای طبقات با دیافراگم صلب و برابر با ۵ متر و ستون‌های سازه، بتقی و دارای ضریب پواسون برابر با $\nu_c = 0.2$ باشند.

۱.۳. بررسی مؤلفه‌ی شتاب انتقالی ورودی پی

شکل‌های ۲ و ۳ به ترتیب نشان‌دهنده‌ی تغییرات تابع تبدیل مؤلفه‌ی انتقالی سیستم پی گسترده و منفرد (سازه‌ی دارای طبقات با دیافراگم صلب) در راستای محور x .



الف) $V_A = 2 \text{ Km/s}$



ب) $V_A = 1 \text{ Km/s}$

شکل ۲. بررسی تغییرات تابع تبدیل مؤلفه‌ی انتقالی سیستم پی گسترده در راستای محور x براساس شکل هندسی سازه در پلان.

این سازه، می‌توان از تابع تبدیل رابطه‌ی ۱۸ استفاده کرد:

$$T_j^{qs}(\omega) = \left\{ \begin{array}{l} \left(T_{xj}^{qs}(\omega) \right)^*, \\ \left(T_{yj}^{qs}(\omega) \right)^*, \\ \left(T_{\theta ej}^{qs}(\omega) \right)^* \\ \frac{1+h_j^* \omega^* r_{xz}^*(\omega)/V_A^*}{N^*} A_N \\ \frac{1+h_j^* \omega^* r_{zy}^*(\omega)/V_A^*}{N^*} A_N \\ r_k^* \left[\left(1+h_j^* \omega^* r_{zy}^*(\omega)/V_A^* \right) \cdot A_x \right. \\ \left. + \left[r_{xy}^*(\omega) + h_j^* \omega^* r_{zy}^*(\omega)/V_A^* \right] \cdot A_y \right] \\ + \frac{r_{k_\theta}^* \omega^* (1+r_{xy}^*(\omega))}{4V_A^*} A_N \end{array} \right\} \quad (18)$$

که در آن زیرنویس ز بیان‌گر شماره‌ی طبقه‌ی سازه و h_j نیز ارتفاع طبقه‌ی زام از تراز پایه است. به این ترتیب از رابطه‌ی ۱۸ می‌توان برای تعیین مؤلفه‌های حرکت سینماتیک طبقات سازه‌های دارای دیافراگم کف صلب و مستقر بر روی سیستم پی منفرد (با کلاف‌بندی ضعیف) استفاده کرد.

۳. بررسی تأثیر ابعاد پی بر شتاب ورودی سازه‌ها

با توجه به تأثیر نوع و شکل هندسی پی بر مؤلفه‌های انتقالی و دورانی، در این بخش تأثیرات طول، نسبت ابعادی پی‌ها و جهت تحریک بر ورودی سازه‌ها، برای پی‌های با مشخصات داده شده در جدول ۱، تحت تأثیر ۶ مؤلفه‌ی زلزله بررسی شده‌اند. برای بررسی اثرات نسبت ابعادی بر ورودی پی‌ها، از پی‌های A, C, E, F و D استفاده شده است که به ترتیب دارای نسبت طول به عرض $3, 2, 1$ و 4 هستند. همچنین برای بررسی اثرات طول بعد بر ورودی پی‌ها، ورودی پی‌های A و B، و به منظور بررسی جهت انتشار امواج نیز ورودی پی‌های C و D با هم مقایسه شده‌اند.

در این مطالعه محور x هم راستا با جهت اصلی انتشار امواج لرزه‌یی فرض شده و از تابع همگرایی در رابطه‌ی ۱۹، برای تخمین تغییرات مکانی حرکت زمین و همیستگی بین دو نقطه‌ی p و q روی سطح زمین، استفاده شده است:^[۱۰]

$$\gamma_{pq}(x, y, i\omega) = |\gamma_{pq}| \exp \left(-\frac{i\omega x}{V_A} \right) = \exp \left[-\left(\alpha_1(\omega)x^* + \alpha_2(\omega)y^* \right)\omega \right] \exp \left(-\frac{i\omega x}{V_A} \right) \quad (19)$$

که در آن $|\gamma_{pq}|$ به ترتیب بیان‌گر فقدان همیستگی و اختلاف فاز بین دو نقطه‌ی p و q است و:

$$\alpha_l(\omega) = \frac{a_l}{\ln(\omega) + b_l} \quad \omega \geq 0.314 \text{ rad/s} \quad l = 1, 2 \quad (20)$$

جدول ۱. مشخصات پی‌های بررسی شده.

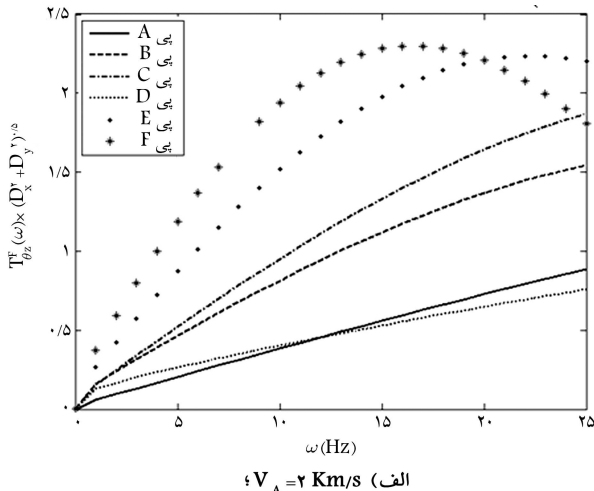
F	E	D	C	B	A	مشخصات پی‌های
پی	پی	پی	پی	پی	پی	ها
۸۰	۶۰	۲۰	۴۰	۴۰	۲۰	$D_x - m$
۲۰	۲۰	۴۰	۲۰	۴۰	۲۰	$D_y - m$
۸	۶	۲	۴	۴	۲	N_x
۲	۲	۴	۲	۴	۲	N_y
۱۶	۱۲	۸	۸	۱۶	۴	N

معمول و غالب بسامدی حرکت شدید زمین، مؤلفه‌های شتاب انتقالی ورودی دو نوع سیستم پی گسترده و منفرد (با دیافراگم طبقه‌ی صلب) را یکسان فرض کرد.

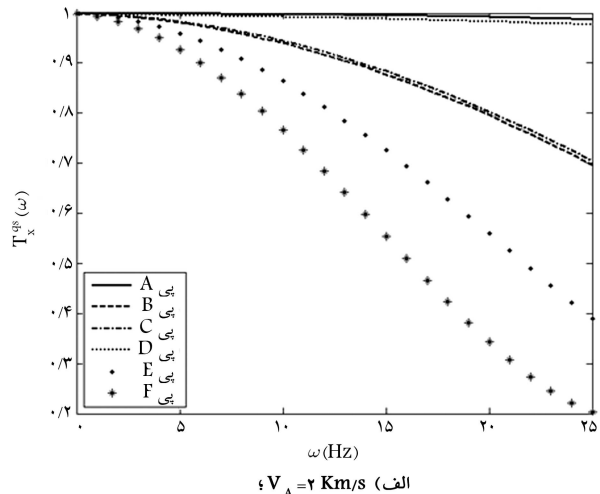
۲.۳. بررسی مؤلفه‌ی شتاب پیچشی ورودی به

شکل‌های ۴ و ۵ به ترتیب نشان‌دهنده‌ی تغییرات تابع تبدیل نرمال‌شده‌ی مؤلفه‌ی پیچشی $T_{\theta z}^{1/2}$ ($D_x^z + D_y^z$)، سیستم پی گسترده و منفرد (با طبقه‌ی دارای دیافراگم صلب) در راستای محور z ، براساس شکل هندسی سازه در پلان و سرعت‌های فاز ۱ و ۲ کیلومتر بر ثانیه هستند. همان‌طور که در این شکل‌ها مشاهده می‌شود رفتار کلی تابع تبدیل نرمال‌شده‌ی مؤلفه‌ی پیچشی برای هر دو نوع سیستم پی مشابه و مقادیر تابع تبدیل نرمال‌شده‌ی مؤلفه‌ی پیچشی متناظر با سیستم پی منفرد بیش از سیستم پی گسترده است.

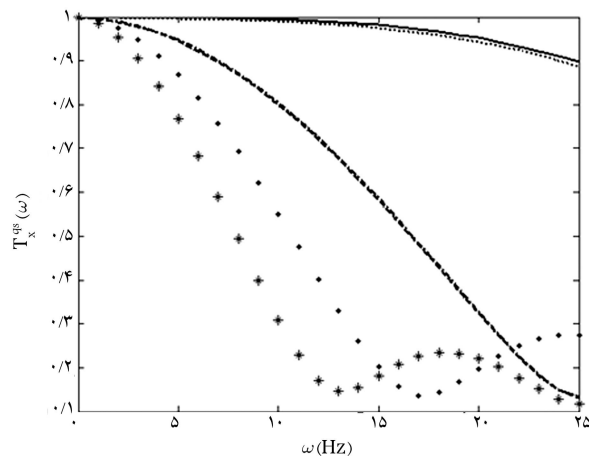
همچنین با توجه به این شکل‌ها واضح است که به ازای یک سرعت ظاهری ثابت، با افزایش بسامد تحریک، پی‌هایی که طول بیشتری در جهت غالب انتشار امواج لرزه‌یی (D_x) داشته باشند؛ سریع‌تر به بیشینه‌یی مقدار خود رسند (مانند پی F) و برای پی‌هایی با طول مساوی در جهت x مانند پی‌های B، C، هرچه



الف) $V_A = 2 \text{ Km/s}$



الف) $V_A = 2 \text{ Km/s}$



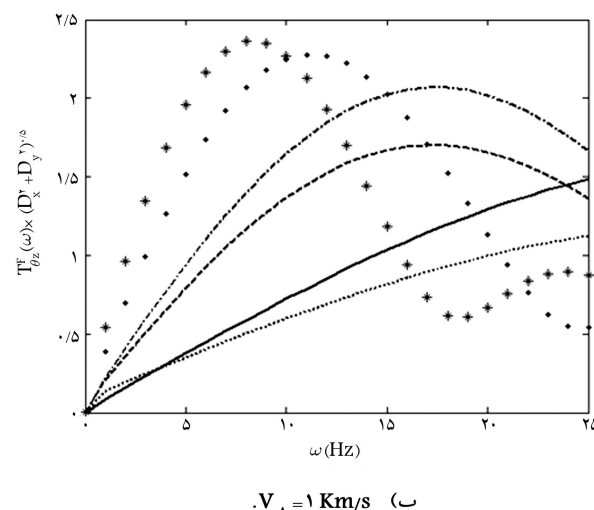
ب) $V_A = 1 \text{ Km/s}$

شکل ۳. بررسی تغییرات تابع تبدیل مؤلفه‌ی انتقالی سیستم پی منفرد دارای طبقه‌ی اول با دیافراگم صلب در راستای محور z براساس شکل هندسی سازه در پلان.

براساس شکل هندسی سازه در پلان و سرعت‌های فاز ۱ و ۲ کیلومتر بر ثانیه هستند. همان‌طور که در شکل‌های ۲ و ۳ مشاهده می‌شود به ازای یک سرعت ظاهری ثابت، با افزایش بسامد تحریک و بعد پی در جهت انتشار امواج لرزه‌یی (D_x)، تابع تبدیل T_x روندی نزولی دارد. همچنین با توجه به این شکل‌ها مشاهده می‌شود هرچه بعد پی در جهت انتشار امواج لرزه‌یی بیشتر باشد، روند کاهش سریع‌تر است و لذا می‌توان نتیجه گرفت که با افزایش بعد سازه، دامنه‌ی مؤلفه‌ی انتقالی ورودی پی با سرعت بیشتری کاهش می‌یابد و مقدار این کاهش برای سیستم پی گسترده بیش از سیستم پی منفرد است.

با توجه به شکل‌های ۲ و ۳، اگرچه به نظر می‌رسد که برای سازه‌های با سیستم پی گسترده‌ی صلب یا سیستم پی منفرد (با دیافراگم صلب) با بعد کمتر از ۴۰ متر، درنظرگرفتن اثرات برهم‌کنش سینماتیک خاک و سازه لزومی ندارد، ولی برای سازه‌های با طول بعد بیش از ۴۰ متر، درنظرگرفتن اثرات برهم‌کنش سینماتیک خاک و سازه حائز اهمیت است و می‌تواند منجر به کاهش قابل توجه سطح نیروی وارد بر این سازه‌ها شود.

همچنین چنان‌که مشاهده می‌شود تفاوت بین مقادیر T_x در دو نوع سیستم پی چندان قابل توجه نیست، از این رو به نظر می‌رسد که بتوان با توجه به محدوده‌ی

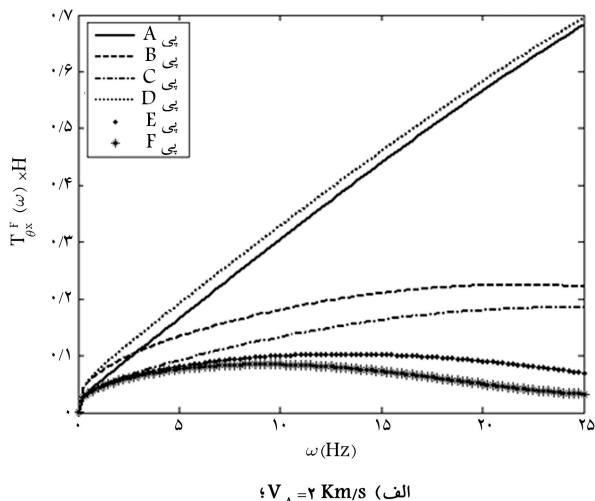


ب) $V_A = 1 \text{ Km/s}$

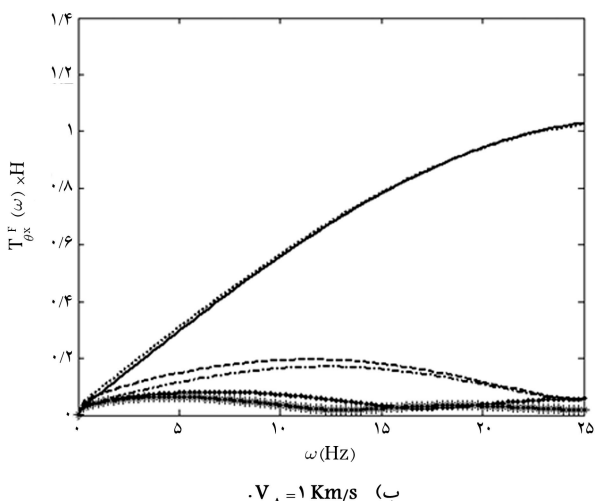
شکل ۴. بررسی تغییرات تابع تبدیل مؤلفه‌ی پیچشی سیستم پی گسترده در راستای محور z براساس شکل هندسی سازه در پلان.

نرمال شده $H \cdot T_{\theta x-y}(\omega)$. سیستم پی گسترده براساس شکل هندسی پی حول محورهای x و y ، و به ازای سرعتهای فاز ۱ و ۲ کیلومتر بر ثانیه هستند، که در آنها H به منزله ارتفاع معادل سازه‌بی تعریف شده و برابر با ۲۰ متر در نظر گرفته شده است. با توجه به شکل ۶ مشاهده می‌شود که هرچه پی دارای طول بیشتری در راستای محور y و طول کمتری در راستای محور x باشد $T_{\theta x}^F$ بزرگ‌تر خواهد داشت. از این رو همان‌طور که مشاهده می‌شود پی F کمترین و پی D بیشترین مقادیر $T_{\theta x}^F$ را دارند. این در حالی است که $T_{\theta y}^F$ برخلاف $T_{\theta x}^F$ ، چندان به تغییرات پی بعد پی درجهت y حساس نیست. همچنین هرچه پی بعد پی در راستای محور x بیشتر باشد، $T_{\theta y}^F$ سریع‌تر به بیشینه‌ی مقدار خود می‌کند و این مقدار بیشینه، از بیشترین مقدار $T_{\theta y}^F$ پی‌های با بعد کوچک‌تر در راستای محور x ، کمتر است.

همچنین با مقایسه شکل‌های ۶ و ۷ مشاهده می‌شود که به ازای کلیه بسامدها، $T_{\theta y}^F$ همواره به صورت قابل توجهی بزرگ‌تر از $T_{\theta x}^F$ است. دلیل این امر را می‌توان ناشی از بیشتر و غالب بودن تغییرات مکانی حرکت زمین در راستای محور x نسبت به محور y دانست (با فرض اینکه جهت غالب انتشار امواج لرزه‌بی در راستای محور x باشد). همچنین با مقایسه شکل ۲ با شکل‌های ۴ و ۷ مشخص می‌شود که برای سیستم پی گسترده، مؤلفه‌های دورانی ورودی پی

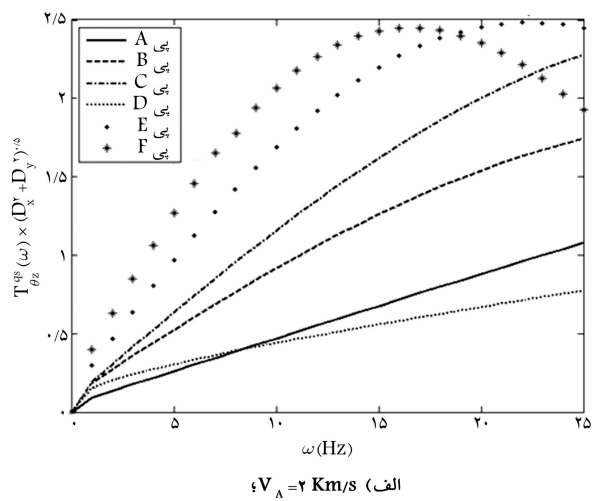


الف) $V_A = 2 \text{ Km/s}$

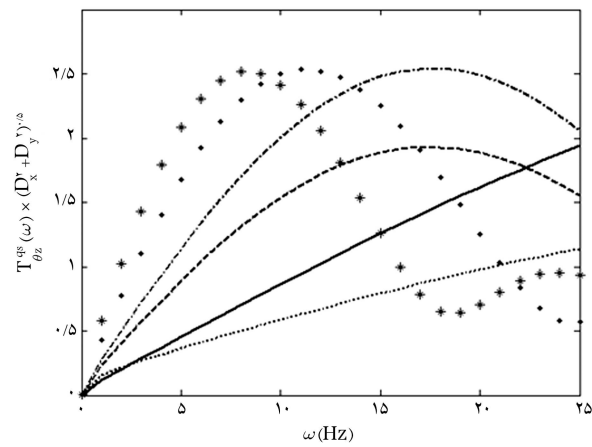


ب) $V_A = 1 \text{ Km/s}$

شکل ۶. بررسی تغییرات تابع تبدیل مؤلفه‌ی گهواره‌بی سیستم پی گسترده در راستای محور θ براساس شکل هندسی سازه در پلان.



الف) $V_A = 2 \text{ Km/s}$



ب) $V_A = 1 \text{ Km/s}$

شکل ۵. بررسی تغییرات تابع تبدیل مؤلفه‌ی پیچشی سیستم پی منفرد دارای طبقه‌ی اول با دیافراگم صلب در راستای محور θ براساس شکل هندسی سازه در پلان.

طول پی در جهت عمود بر راستای غالب انتشار امواج لرزه‌بی (D_y) کمتر باشد، بیشینه‌ی مقدار تابع تبدیل نرمال شده مؤلفه‌ی پیچشی بیشتر خواهد بود. با این حال، به طور کلی حساسیت تابع تبدیل نرمال شده مؤلفه‌ی پیچشی به تغییرات بعد پی در راستای محور x بیش از محور y است که دلیل آن ناشی از بیشتر بودن تغییرات مکانی حرکت زمین در راستای محور x نسبت به محور y است. با مقایسه تابع تبدیل نرمال شده در شکل‌های ۴ و ۵ به ازای مقادیر متفاوت سرعت فاز مشاهده می‌شود که با کاهش سرعت فاز، بیشینه‌ی مقدار تابع تبدیل نرمال شده مؤلفه‌ی پیچشی به سمت بسامدهای کوچک‌تر انتقال می‌یابد. از این رفتار تابع تبدیل وابستگی آن به سرعت فاز، نتیجه‌ی بی‌مهم حاصل می‌شود و آن این است که نمی‌توان فقط براساس طول بعد پی یک سازه، نحوه رفتار تابع تبدیل آن را پیش‌بینی کرد و این واقعیت ناشی از وابستگی بسامدی قابل توجه تابع تبدیل نرمال شده مؤلفه‌ی پیچشی به سرعت فاز متناظر با تحریک لرزه‌بی است. از این رو بدون مشخص بودن تحریک لرزه‌بی یک سازه، نمی‌توان نحوه تأثیرگذاری تابع تبدیل مؤلفه‌ی پیچشی متناظر با پی را بر بسامدهای مختلف تحریک لرزه‌بی ورودی برآورد کرد.

۳.۳. بررسی مؤلفه‌ی شتاب گهواره‌بی ورودی پی

شکل‌های ۶ و ۷ به ترتیب نشان‌دهنده تغییرات تابع تبدیل مؤلفه‌های گهواره‌بی

کامل اثرات برهمکنش سینماتیک خاک و سازه برای تعیین مؤلفه‌های دورانی ورودی پی‌ها الزامی است.

۴. نتیجه‌گیری

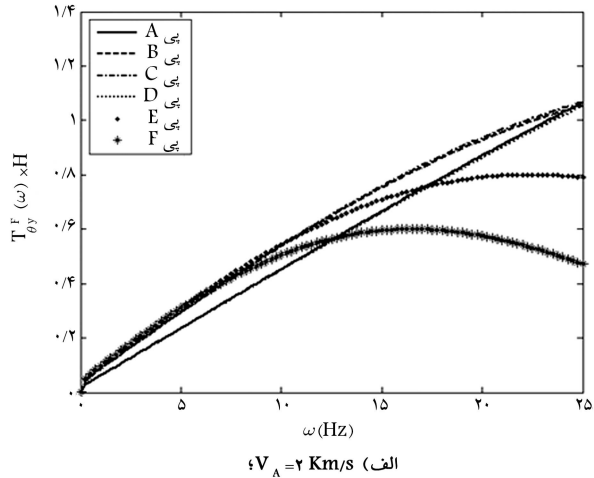
هدف نوشتار حاضر ارائه‌ی رویکردی برای تعیین تحریک لرزه‌یی سازه‌ها با درنظرگرفتن اثرات برهمکنش سینماتیک خاک و سازه است. از این‌رو، روشی برای درنظرگرفتن اثرات برهمکنش سینماتیک خاک و سازه برای تعیین کلیه‌ی مؤلفه‌های ورودی دو نوع سیستم پی (گسترده و منفرد)، به صورت بسامدی و تاریخچه‌ی زمانی ارائه شد. با استفاده از روابط به دست آمده، تأثیرات شکل هندسی و نوع سیستم پی‌ها در تغییر مؤلفه‌های دورانی و انتقالی ورودی پی‌ها بررسی و ارزیابی شدند. برای سیستم پی منفرد دو حالت رفتاری درنظر گرفته و فرض شد در صورتی‌که پی‌ها منفرد با کلاف‌بندی مناسب و قوی به هم متصل شده باشند، رفتار سینماتیک مشابه پی گسترده دارند. همچنین بخشی روی تحریک ورودی سازه‌های مستقر بر روی سیستم پی منفرد با کلاف‌بندی ضعیف، ارائه شد. اهم نتایج این تحقیق با توجه به فرضیات انجام‌شده عبارتند از:

(الف) به طورکلی درنظرگرفتن اثرات برهمکنش سینماتیک خاک و سازه برای محاسبه‌ی مؤلفه‌های انتقالی ورودی سازه‌های با پی گسترده و با دارای طبقه‌ی اول صلب به ابعاد بزرگ‌تر از ۴۰ متر، باعث کاهش قابل توجه مؤلفه‌های انتقالی ورودی سازه و نتیجتاً کاهش نیروهای طراحی سازه می‌شود.

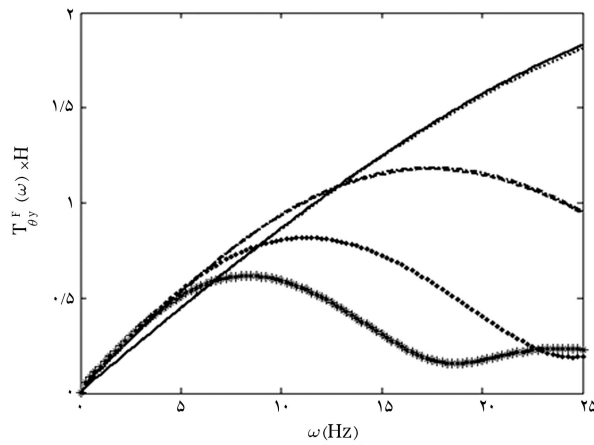
(ب) با افزایش بعد پی و کاهش سرعت فاز متناظر با انتشار امواج لرزه‌یی، مؤلفه‌های انتقالی ورودی پی کاهش می‌یابند. این کاهش برای سازه‌های با پی گسترده و با دارای طبقه‌ی اول صلب به ابعاد بزرگ‌تر از ۴۰ متر، قابل توجه است. از این‌رو درنظرگرفتن اثرات برهمکنش سینماتیک خاک و سازه منجر به طراحی بهینه‌ی سازه‌هایی همچون سدها یا سازه‌ی راکتور هسته‌یی می‌شود.

(ج) مؤلفه‌های انتقالی و پیچشی ورودی سازه دارای طبقات با دیافراگم صلب که سیستم پی آن منفرد است، را می‌توان به طور تقریبی برابر با مؤلفه‌های انتقالی و پیچشی ورودی سازه با پی گسترده‌ی صلب، به شرطی که ابعاد پلان دو سازه یکسان باشد، برابر فرض کرد.

(د) مؤلفه‌های دورانی ورودی پی بیش از مؤلفه‌های انتقالی متناظر به شکل هندسی و سرعت فاز متناظر با مؤلفه‌های تحریک لرزه‌یی وابسته است و پیش‌بینی بزرگ‌ای نمایش داده شده‌ی مؤلفه‌ی پیچشی زلزله، کاملاً به تغییرات سرعت فاز وابسته است و نرمال‌شده‌ی مؤلفه‌ی پیچشی زلزله، نکته‌ی حائز اهمیت دیگر این است که تابعهای تبدیل مؤلفه‌های گهواره‌یی زلزله مشابه تابع تبدیل نرمال‌شده‌ی مؤلفه‌ی پیچشی زلزله، ممکن نیست. درنظرگرفتن این مسئله در کنار توجه به بیشترین محتوای بسامدی مؤلفه‌های دورانی نسبت به مؤلفه‌های انتقالی نشان می‌دهد که درنظرگرفتن



الف) $V_A = 2 \text{ Km/s}$



ب) $V_A = 1 \text{ Km/s}$

شکل ۷. بررسی تغییرات تابع تبدیل مؤلفه‌ی گهواره‌یی سیستم پی گسترده در راستای محور یا براساس شکل هندسی سازه در پلان.

منابع (References)

- Li, B.; Al-Bermani, F.G.A. and Kitipornchai, S. "Maximum response of asymmetric structures subject to a multicomponent earthquake", *Earthquake Engineering and Structural Dynamics*, **22**, pp. 1047-1066 (1993).
- Veletos, A.S.; Prasad, A.M. and Wu, W.H. "Trans-
- fer functions for rigid rectangular foundations", *Earthquake Engineering and Structural Dynamics*, **26**, pp. 5-17 (1997).
- Sarma, S.K. and Srbulov, M. "A simplified method for prediction of kinematic soil-foundation interaction effects on peak horizontal acceleration of a rigid foundation", *Earthquake Engineering and Structural Dynamics*, **25**, pp. 815-836 (1996).

4. Hadid, M. and Berrah, M.K. "Structural response for stochastic kinematic interaction", *Earthquake Engineering and Structural Dynamics*, **30**, pp. 97-114 (2001).
5. Kim, S. and Stewart, J.P. "Kinematic soil-structure interaction from strong motion recordings", *Journal of Geotechnical and Geoenvironmental Engineering*, **129**, pp. 323-335 (2003).
6. Lin, Y.Y., *Kinematic Soil-Structure Interaction Effects on Maximum Inelastic Displacement Demands of SDOF System*, The 14th WCEE, Beijing China (2008).
7. Aviles, J.; Suarez, M. and Sanchez-Sesma, F.J. "Effects of wave passage on the relevant dynamic properties of structures with flexible foundation", *Earthquake Engineering and Structural Dynamics*, **31**, pp. 139-159 (2002).
8. Stewart, J.P.; Kim, S.; Beilak, J.; Dobry, R. and Power, S.M. "Revisions to soil-structure interaction procedures in NEHRP design provision", *Earthquake Spectra*, **19**, pp. 677-696 (2003).
9. Ghafory-Ashtiani, M. and Singh, M.P. "Structural response for six correlated earthquake components", *Earthquake Engineering and Structural Dynamics*, **14**, pp. 103-119 (1986).
10. Hao, H. "Characteristics of torsional ground motions", *Earthquake Engineering and Structural Dynamics*, **25**, pp. 599-610 (1996).
11. Pais, A. and Kausel, E. "Approximate formulas for dynamic stiffnesses of rigid foundations", *Soil Dynamics and Earthquake Engineering*, **7**, pp. 213-227 (1988).

EVALUATION OF THE EFFECTS OF KINEMATIC SOIL STRUCTURE INTERACTION ON SEISMIC LOADING OF STRUCTURES PART II: FOUNDATION INPUT MOTIONS

M. R. Falamarz-Sheikhhabadi

m.falamarz@gmail.com

M. Ghafory-Ashtiani*

mohsen.ashtiani@gmail.com

International Institute of Earthquake Engineering and Seismology Tehran

Sharif Civil Engineering Journal

Volume 28, Issue 2, Page 35-43, Original Article

© Sharif University of Technology

Abstract

As seismic waves pass through foundations, high frequency waves of free-field motions will be filtered by them. To obtain these filtered motions, called foundation input motions (FIMs), the effects of kinematic interaction between the foundation and surrounding medium, due to the spatial variation of earthquake ground motion (SVEGM), should be considered. For the structures supported on the large mat foundations, considering the effects of kinematic soil structure interaction may lead to filtering of the high-frequency components of the translational response and significant rotational

motions. Therefore, the contribution of rotational components may be detrimental in the seismic response of structures, such as vertically irregular structures, short-period (stiff) structures such as nuclear reactors, and even secondary systems or equipment mounted on structures that are sensitive to high frequency components of motion.

The main objective of this paper is to present a new procedure for evaluating all six input components of structures supported on two foundation systems: rigid mat and single foundations. To achieve this objective, at first, the transfer functions of foundation input motions are derived. Then, a parametric study is performed on the rigid mat foundation system, in order to estimate the effects of the geometrical shape of such a foundation system on the foundation input motion. Moreover, a numerical study is performed on the two different foundation systems; mat and single, in order to compare relations between input rotational and translational components in the structural loading. The results imply that the input translational and torsional accelerations of structures with rigid floor diaphragms, which are supported on the single foundation system, are approximately equal to the same structures with rigid mat foundation systems.

Key Words: rotational components, phase velocity, principal axes, coherency, kinematic interaction.

* corresponding author

Received 1 March 2010; received in revised form 10 October 2010; accepted 10 November 2010